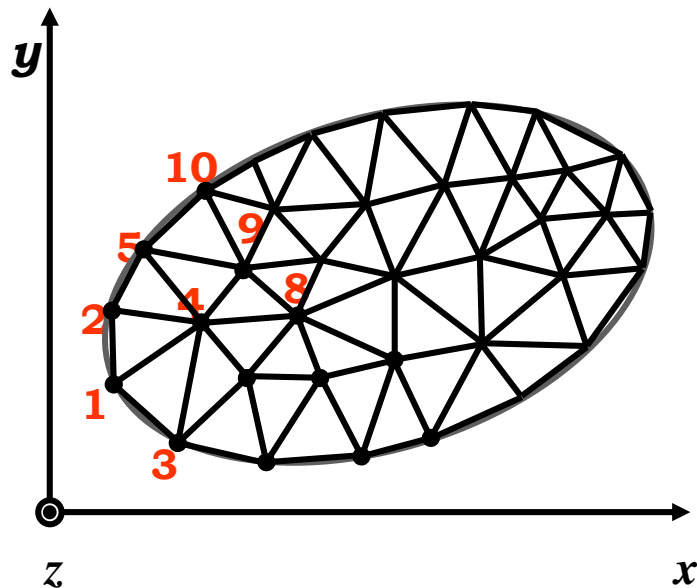


Método dos Elementos Finitos

Eletrostática
e
Magnetostática

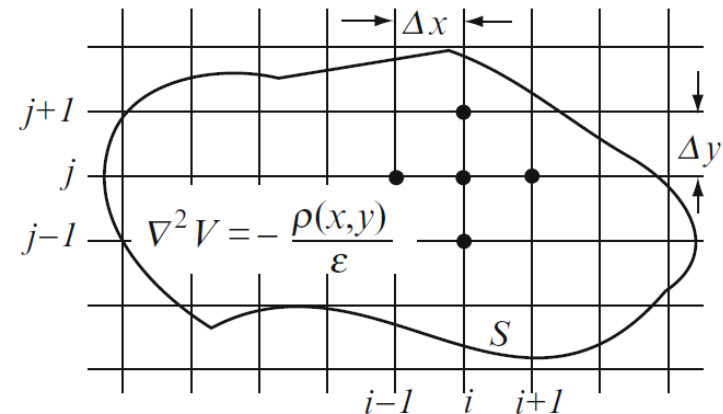
Elementos Finitos x Diferenças Finitas



Problemas Lineares e **não** lineares

Sem restrição à geometria

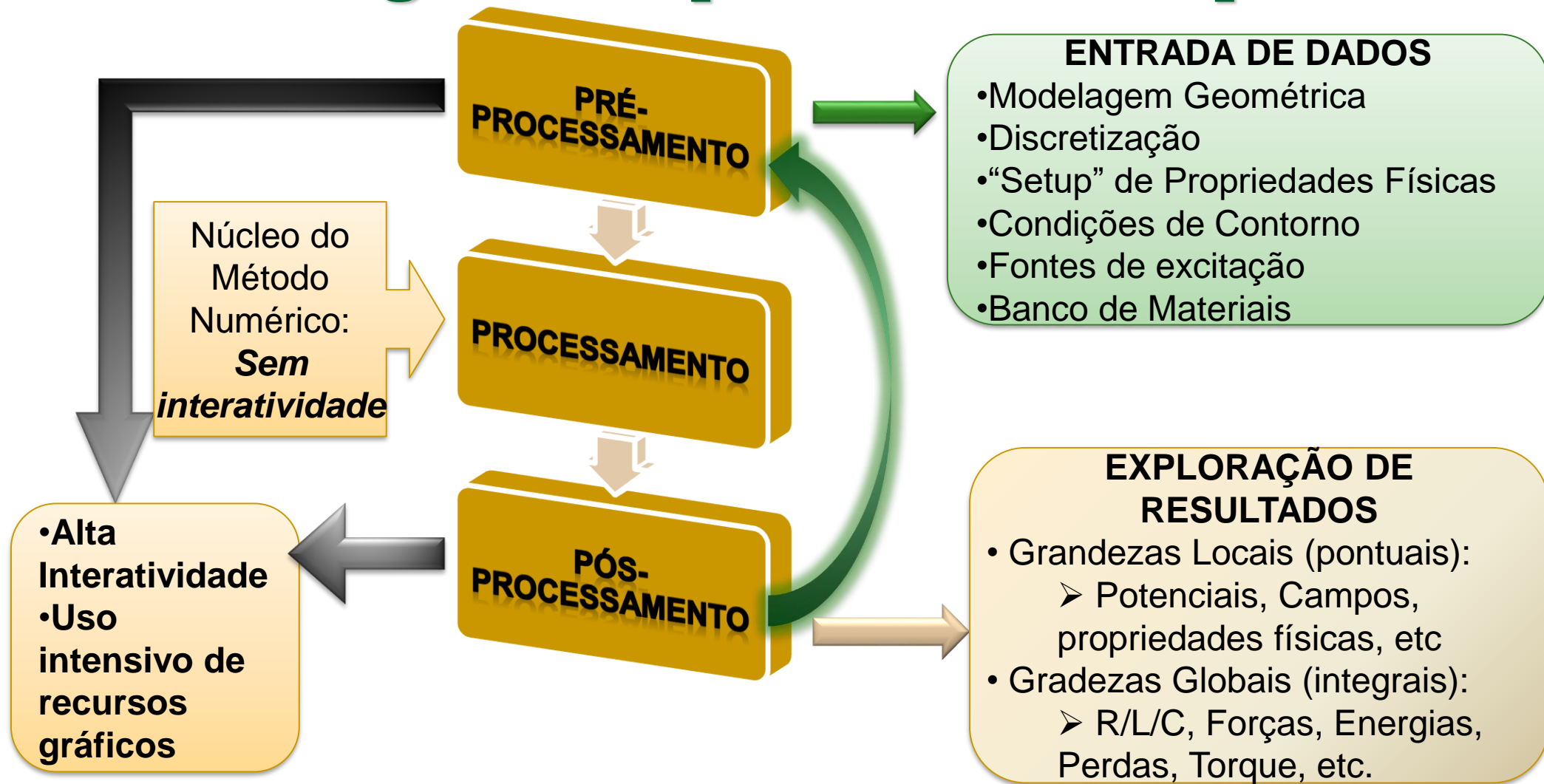
AMBOS NECESSITAM QUE O DOMÍNIO DE ESTUDO SEJA TRUNCADO.



Problemas Lineares

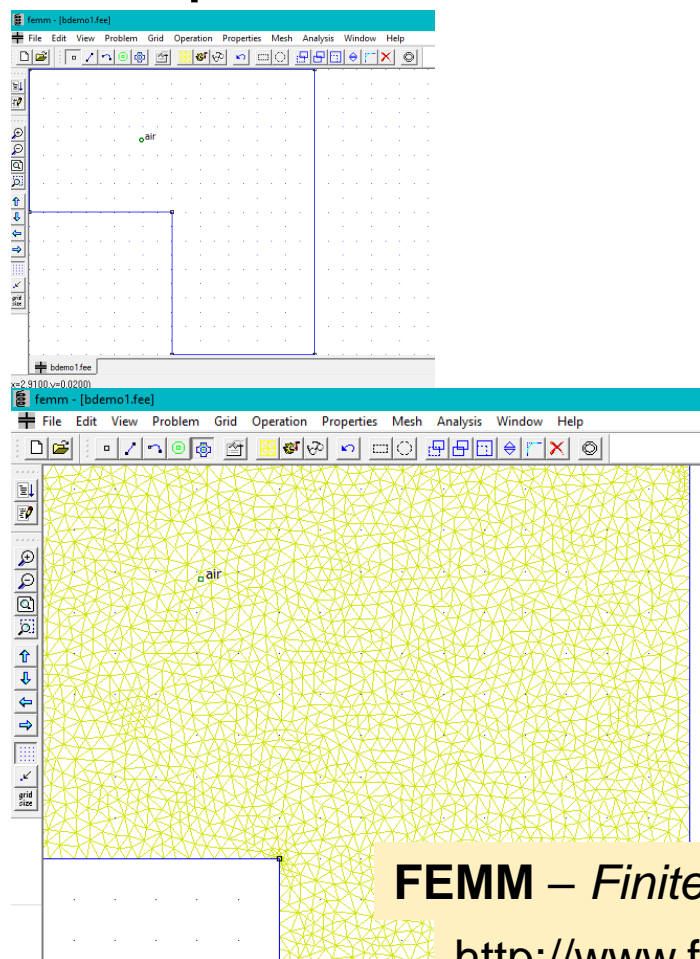
Geometria regular

Modelagem Computacional - Etapas

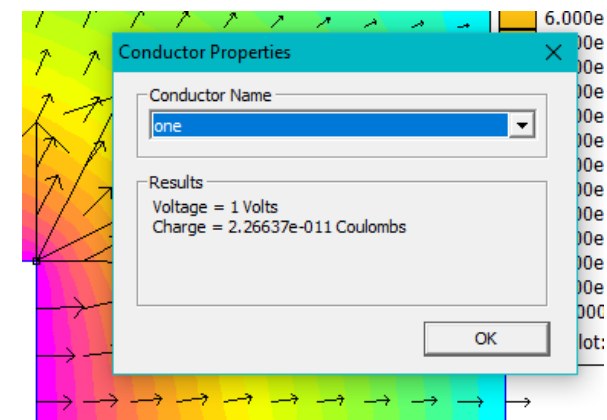
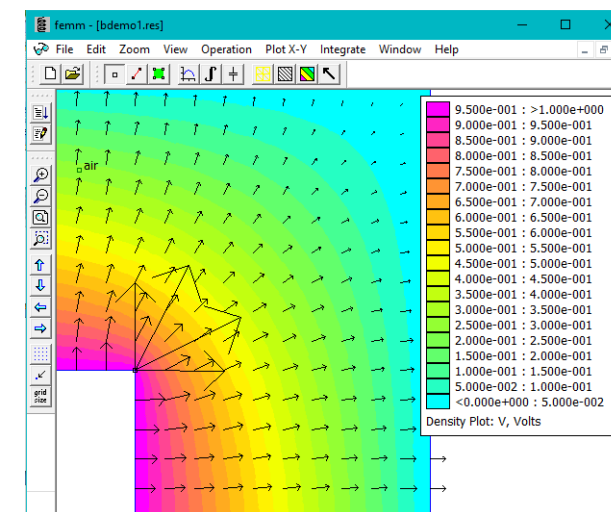
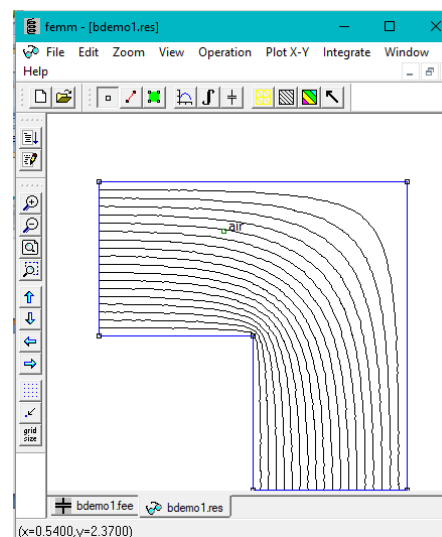


Método dos Elementos Finitos

Pré-processamento



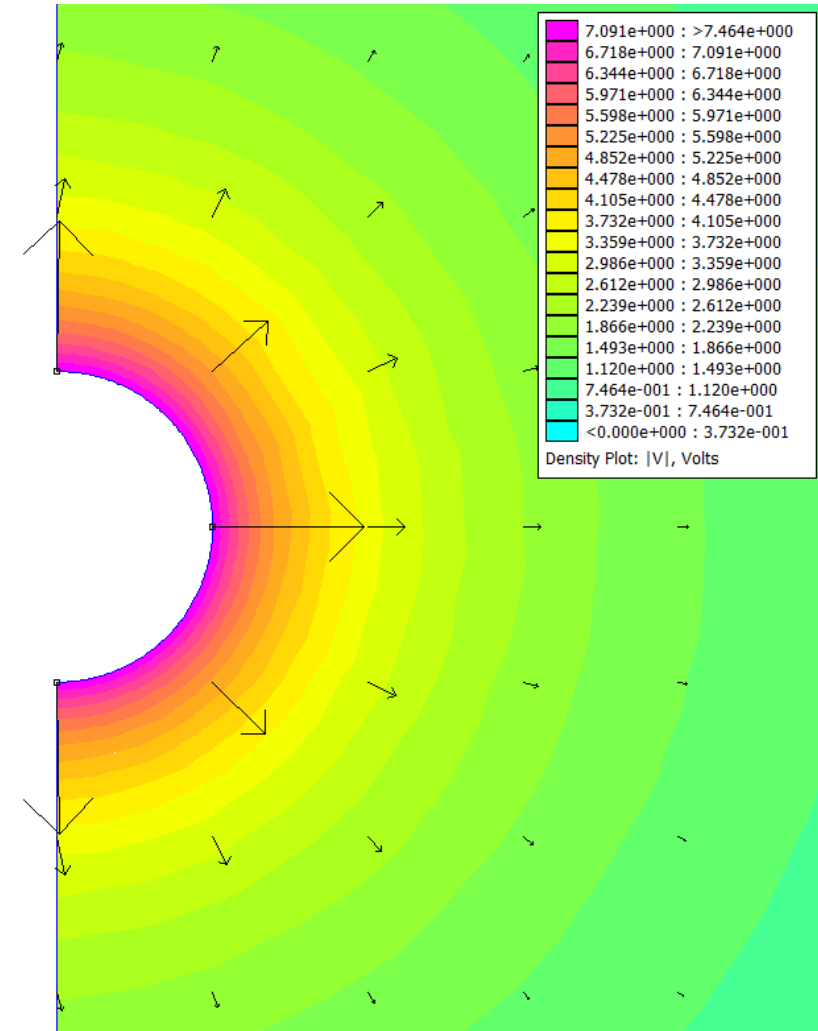
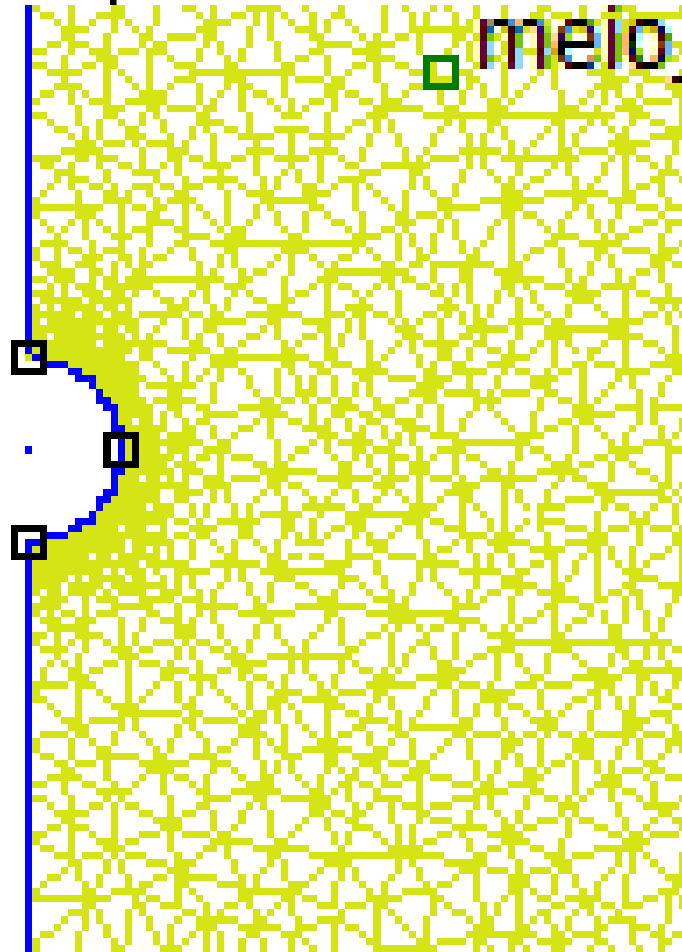
Pós-Processamento



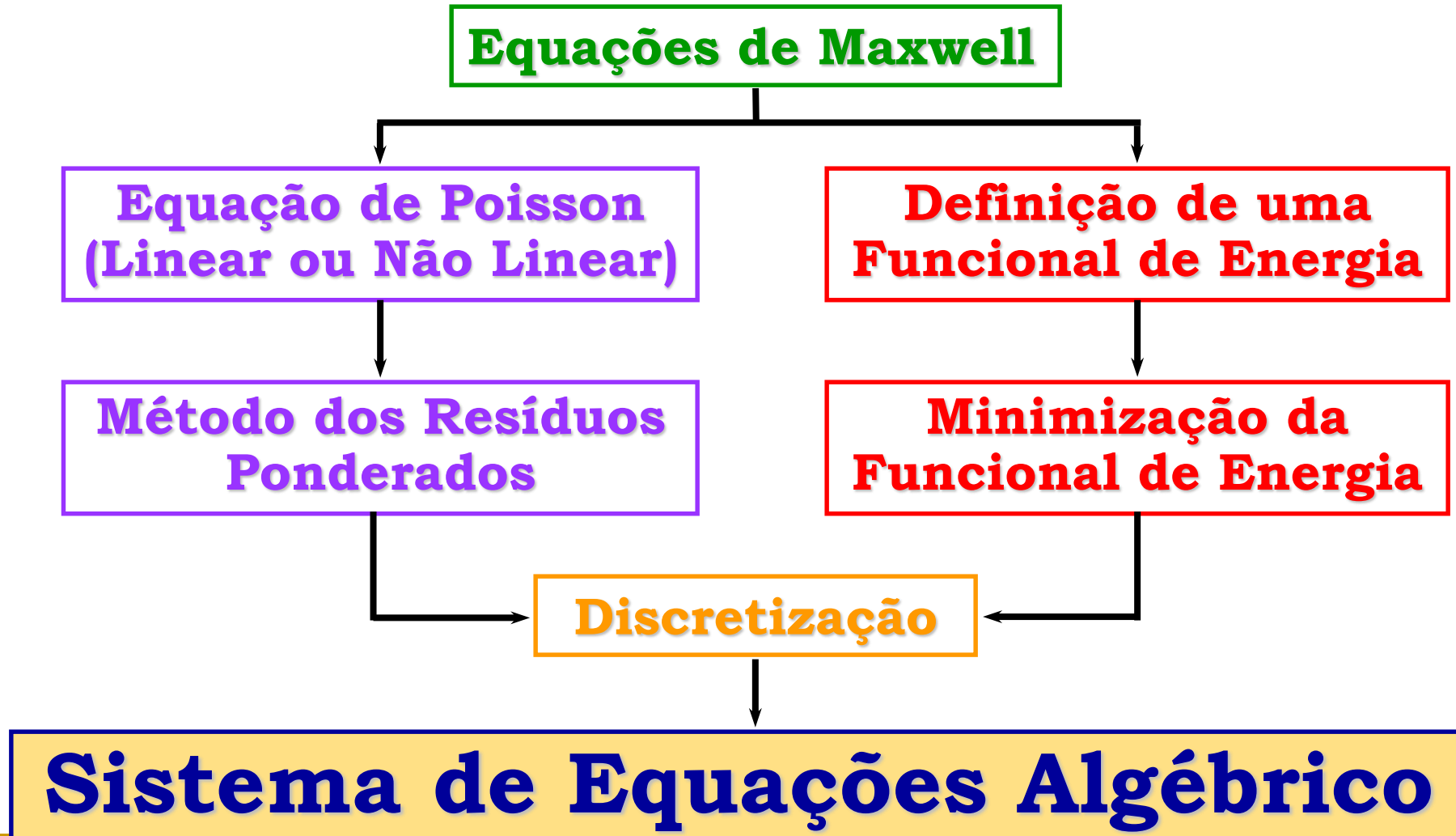
FEMM – *Finite Element Method Magnetics*
<http://www.femm.info/wiki/HomePage>

Método dos Elementos Finitos

Exemplo: esfera enterrada

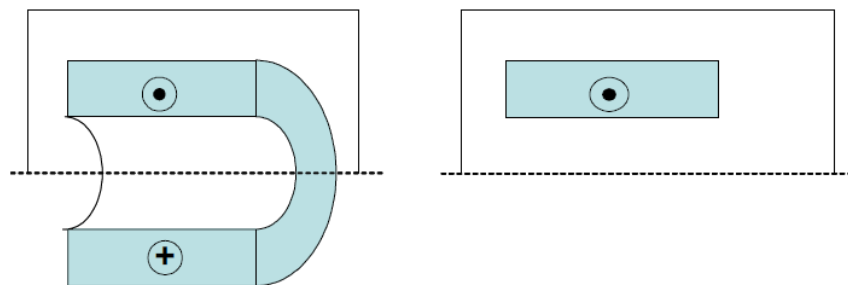
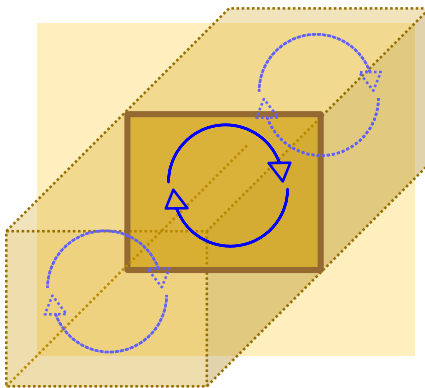


Formulações Clássicas do M.E.F.



Método dos Elementos Finitos - Formulação Alternativa para a Engenharia Elétrica

- Baseada na resolução da forma integral das Equações de Maxwell
- Referência: J. R. Cardoso (2017) *Electromagnetics through the Finite Element Method. (A Simplified Approach using Maxwell's Equations)* CRC Press
- *Problemas passíveis de modelagem bidimensional (2D): simetria plana ou axissimétrica (simetria de revolução).*



Equações de Maxwell

$$\oint_c \vec{E} \cdot d\vec{\ell} = - \int_s \frac{\partial \vec{B}}{\partial t} \cdot d\vec{S}$$

$$\oint_c \vec{H} \cdot d\vec{\ell} = \int_s \left(\vec{J} + \frac{\partial \vec{D}}{\partial t} \right) \cdot d\vec{S}$$

$$\oint_{\Sigma} \vec{B} \cdot d\vec{S} = 0$$

$$\oint_{\Sigma} \vec{D} \cdot d\vec{S} = \int_{\tau} \rho \cdot d\tau$$



$$\nabla \times \vec{E} = - \frac{\partial \vec{B}}{\partial t}$$

$$\nabla \times \vec{H} = \vec{J} + \frac{\partial \vec{D}}{\partial t}$$

$$\nabla \cdot \vec{B} = 0$$

$$\nabla \cdot \vec{D} = \rho$$

(1831 - 1879)

Regime Estacionário

■ Eletrostática

$$\oint_C \vec{E} \cdot d\vec{l} = 0$$

$$\oint_{\Sigma} \vec{D} \cdot d\vec{S} = \int_V \rho d\tau$$

$$\vec{D} = \epsilon \vec{E}$$

■ Magnetostática

$$\oint_C \vec{H} \cdot d\vec{l} = \iint_S \vec{J} \cdot d\vec{S}$$

$$\oint_{\Sigma} \vec{B} \cdot d\vec{S} = 0$$

$$\vec{B} = \mu \vec{H}$$

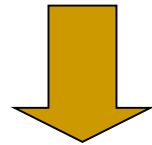
Potenciais

Métodos Numéricos, como o M.E.F., requerem o uso de funções contínuas!

■ Eletrostática

$$\oint_C \vec{E} \cdot d\vec{l} = 0$$

$$\nabla \times \vec{E} = 0$$

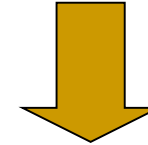


$$\vec{E} = -\nabla \varphi$$

■ Magnetostática

$$\oint_{\Sigma} \vec{B} \cdot d\vec{S} = 0$$

$$\nabla \cdot \vec{B} = 0$$



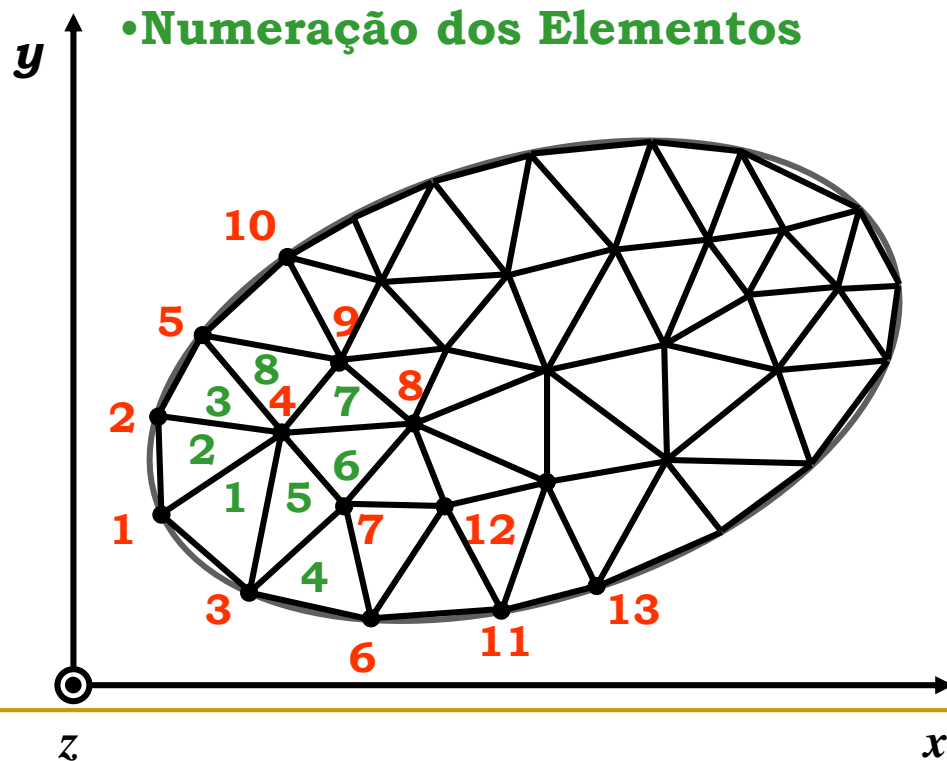
$$\vec{B} = \nabla \times \vec{A}$$

Regiões de Controle

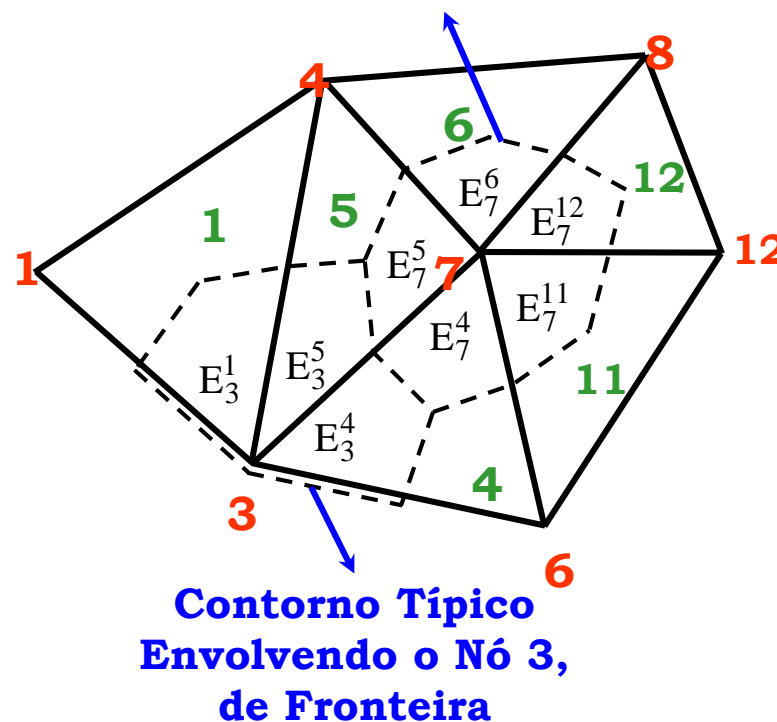
Suportes geométricos convenientemente escolhidos sobre os quais serão aplicadas as leis de Gauss (Eletrostática) e Ampère (Magnetostática)

• **Numeração dos Nós**

• **Numeração dos Elementos**



**Contorno Típico
Envolvendo o Nó 7**



Eletrostática – “Superfície” de Controle

Aplicação da **Lei de Gauss** a cada **NÓ** da malha de Elementos finitos

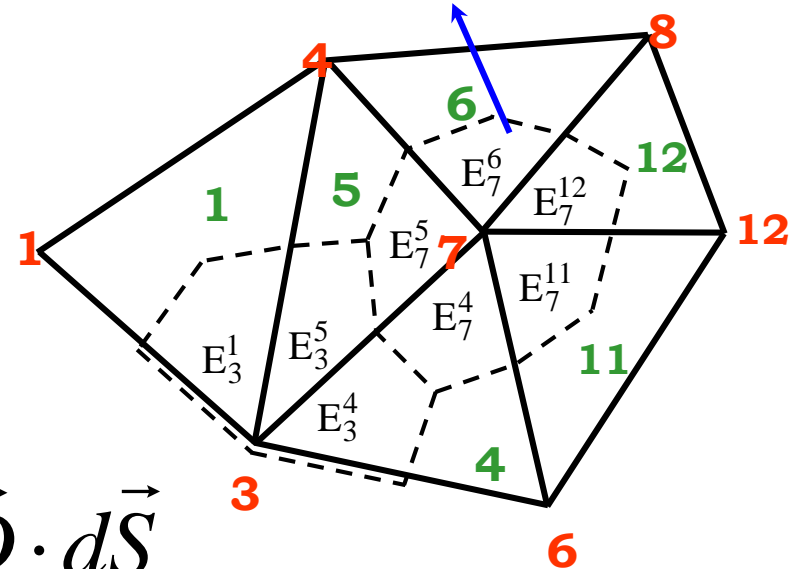
$$E_M^N$$

Contribuição do triângulo
N ao fluxo em torno do nó **M**

$$E_7^5 + E_7^6 + E_7^{12} + E_7^{11} + E_7^4 = \oint_{\Sigma_7} \vec{D} \cdot d\vec{S}$$

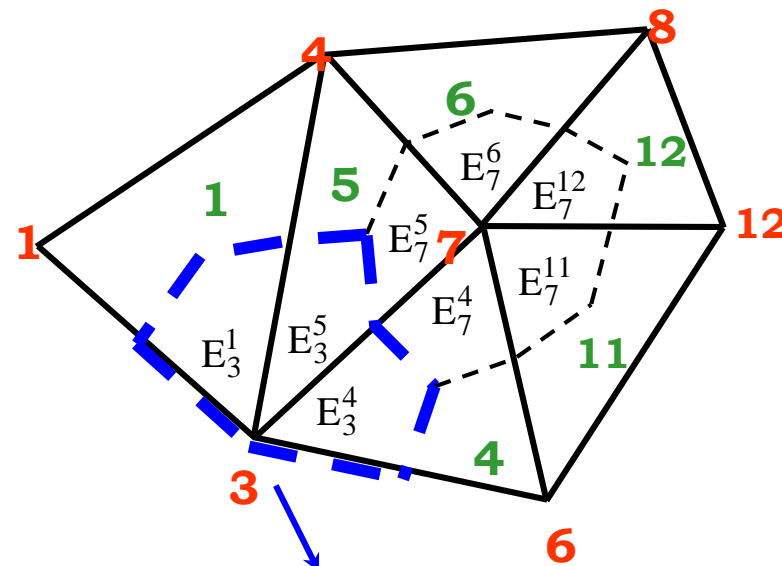
Expressão válida para qualquer Nó “**interno**”

Contorno Típico
Envolvendo o Nó 7



A superfície “gaussiana” corresponde ao contorno 7 indicado, multiplicado pelo comprimento do domínio (normal à figura).

Superfícies de Controle - Nós de fronteira



$$E_3^1 + E_3^5 + E_3^4 = \oint_{\Sigma_3} \vec{D} \cdot d\vec{S}$$

**Contorno Típico
Envolvendo o Nó 3,
de Fronteira**

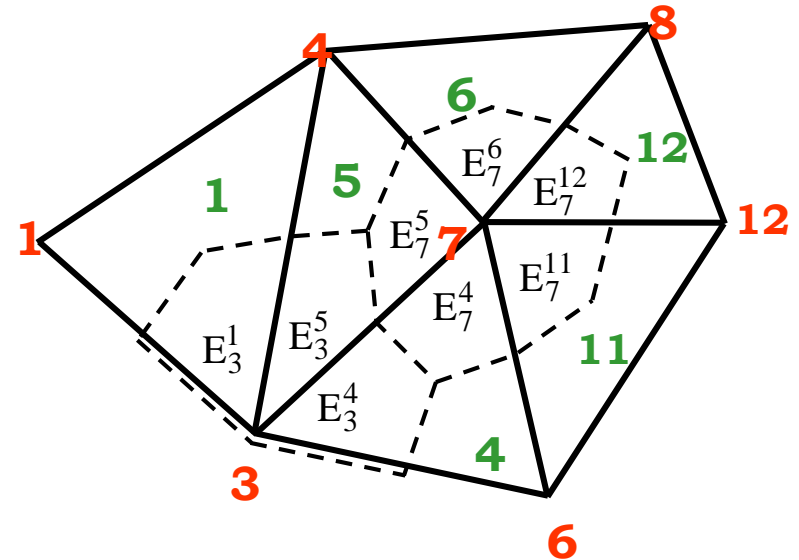
**Válido para qualquer
Nó na fronteira**

“Assemblagem”

Aplica-se a Lei de Gauss para todos os nós da malha de Elementos Finitos

$$\sum_{e=1}^{NE} E_i^e = \sum_{e=1}^{NE} Q_i^e$$

Mas como calcular os E_i^e 's ?



Aproximação Linear do Potencial (V)

- Em cada elemento da malha de E.F. adota-se uma aproximação linear para o potencial
- Para minimizar o erro dessa aproximação, pode-se diminuir o tamanho dos triângulos

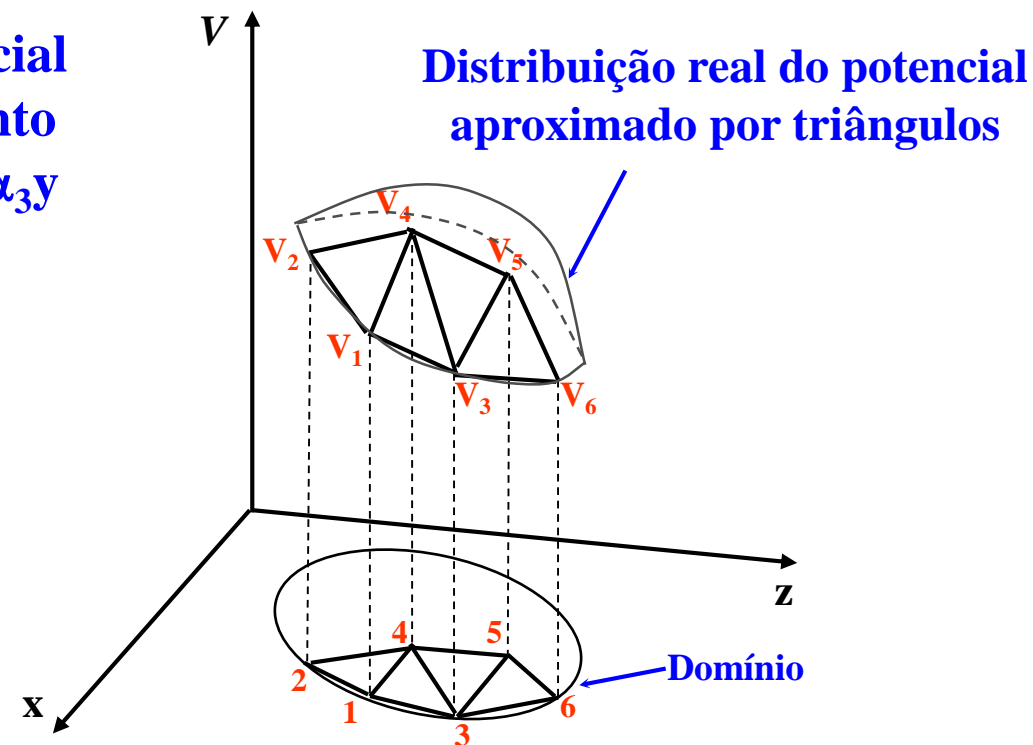
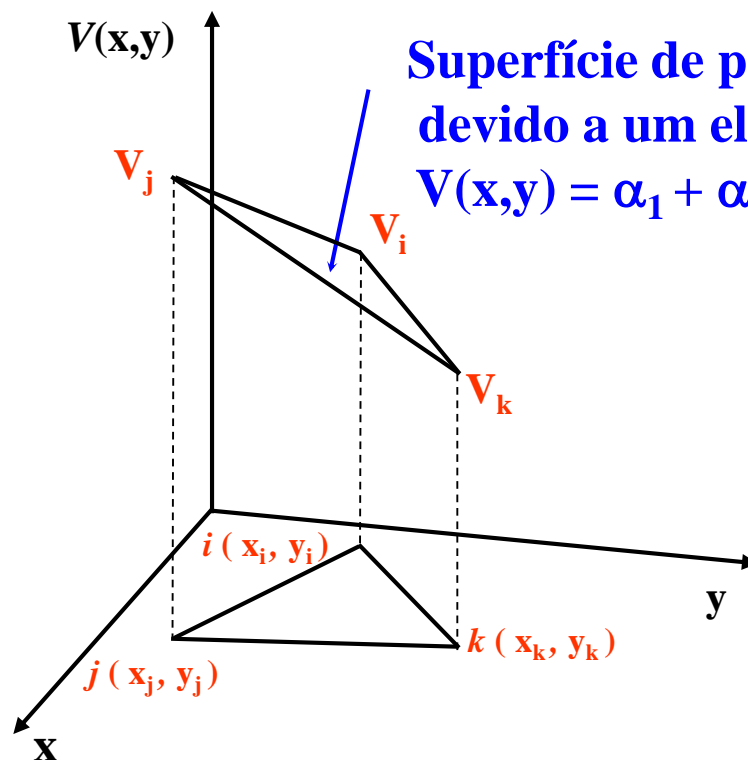
$$V(x, y) = \sum_{i=1}^3 N_i(x, y) \times V_i$$

A aproximação linear do potencial no interior de um elemento genérico é tomada como uma soma ponderada dos potenciais nos vértices (nós) do triângulo

Funções de ponderação da aproximação: $N_i(x, y) \rightarrow$ Funções de Forma do elemento

- ❖ **“Funções de Forma”** do elemento \rightarrow funções adimensionais linearmente independ. \rightarrow polinômios
- ❖ Potenciais nos nós da malha de Elem. Finitos $\rightarrow V_i$'s \rightarrow parâmetros da interpolação linear

Aproximação do Potencial Escalar Elétrico no Elemento



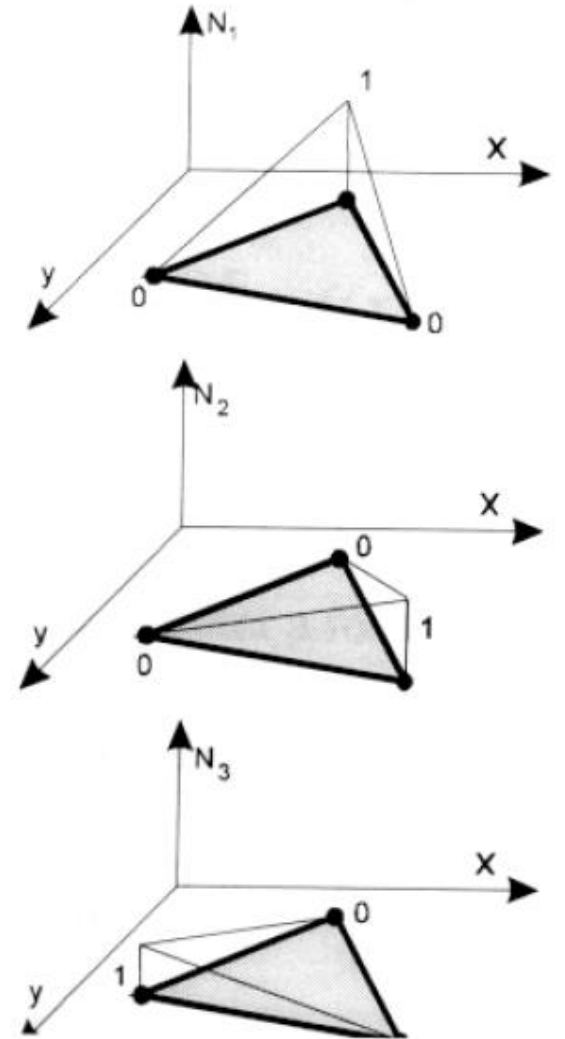
Funções de Forma

$$N_i(x,y)$$

Propriedades:

1. $N_i(x_j, y_j) = \delta_{ij}$ ($=1$, p/ $i=j$; $=0$ p/ $i \neq j$)

2. $\sum_{i=1,2,3} N_i(x_j, y_j) = 1$



Funções de Forma em 2 dimensões

Em 2D, polinômio de 1ª ordem: equação do plano $\rightarrow N_i(x, y) = p_i + q_i x + r_i y$

$$\begin{cases} N_i(x_i, y_i) = p_i + q_i x_i + r_i y_i = 1 \\ N_i(x_j, y_j) = p_i + q_i x_j + r_i y_j = 0 \\ N_i(x_k, y_k) = p_i + q_i x_k + r_i y_k = 0 \end{cases}$$

3 equações e 3 incógnitas (p_i , q_i e r_i)

Funções de Forma para triângulos (2D)

$$N_i(x, y) = p_i + q_i x + r_i y$$

$$N_i(x, y) = \frac{a_i + b_i x + c_i y}{2\Delta}$$

$2\Delta \rightarrow 2 \times \text{Área do Triângulo}$

$$\begin{cases} a_i = x_j y_k - x_k y_j; & b_i = y_j - y_k; & c_i = x_k - x_j \\ a_j = x_k y_i - x_i y_k; & b_j = y_k - y_i; & c_j = x_i - x_k \\ a_k = x_i y_j - x_j y_i; & b_k = y_i - y_j; & c_k = x_j - x_i \end{cases}$$

Campo Elétrico e Vetor Deslocamento

$$\vec{D} = \epsilon \vec{E} = -\epsilon \nabla V \quad \Rightarrow \quad V(x, y) = \sum_{i=1}^3 N_i(x, y) \times V_i$$

$$\vec{E} = -\nabla V = -\sum_{i=1}^3 \left(\frac{b_i \vec{u}_x}{2\Delta} + \frac{c_i \vec{u}_y}{2\Delta} \right) V_i$$

$$\vec{D} = \epsilon \sum_{i=1}^3 \frac{(-b_i \vec{u}_x - c_i \vec{u}_y)}{2\Delta} V_i$$

2D: somente
comp. x e y

Módulo dos dois Vetores é constante no elemento, pois V varia linearmente com x e y

Determinação de E_i^e – Elemento genérico

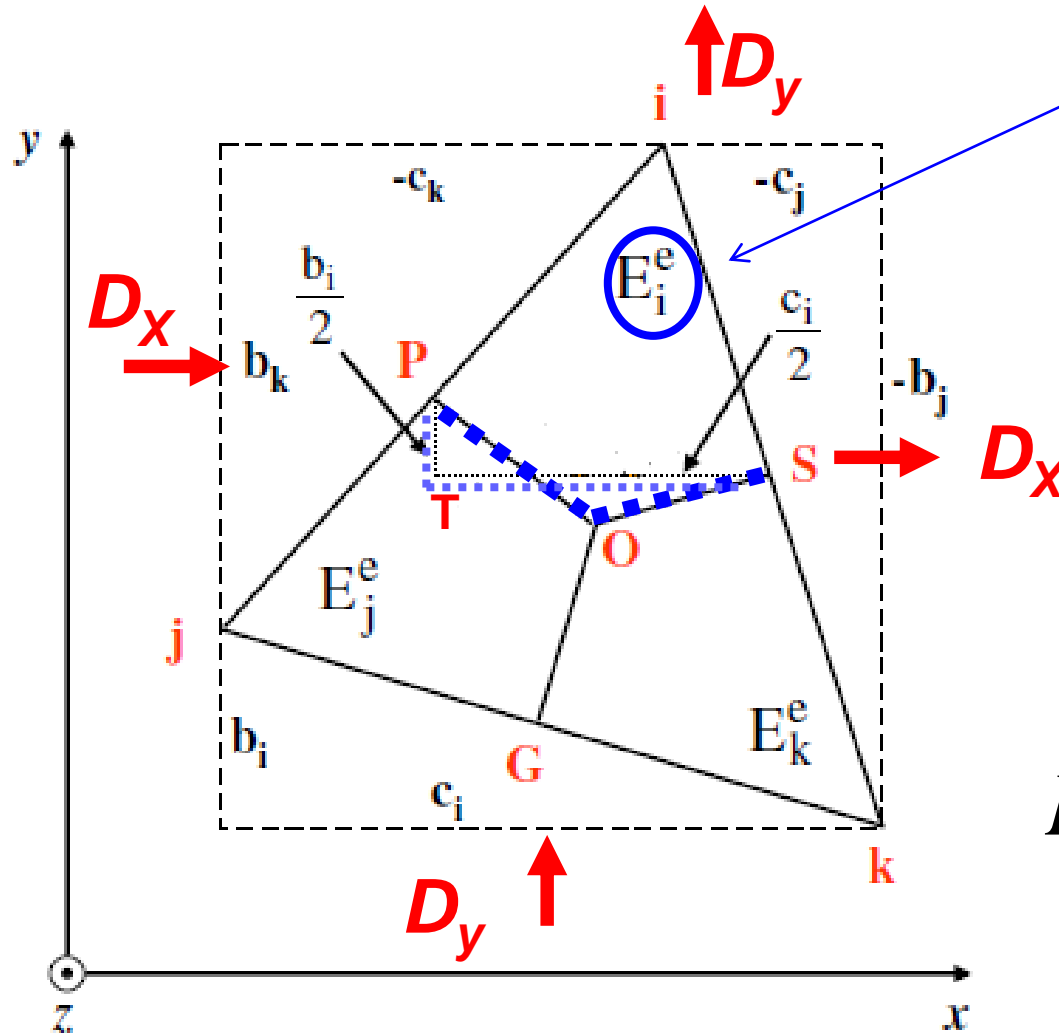
$$E_i^e = ?$$

Fluxo de D por $\overline{\text{POS}}$

$$E_i^e = \int_{POS} \vec{D} \cdot d\vec{S}$$

D constante no elemento

$$E_i^e = \int_{POS} \vec{D} \cdot d\vec{S} = \int_{PTS} \vec{D} \cdot d\vec{S}$$



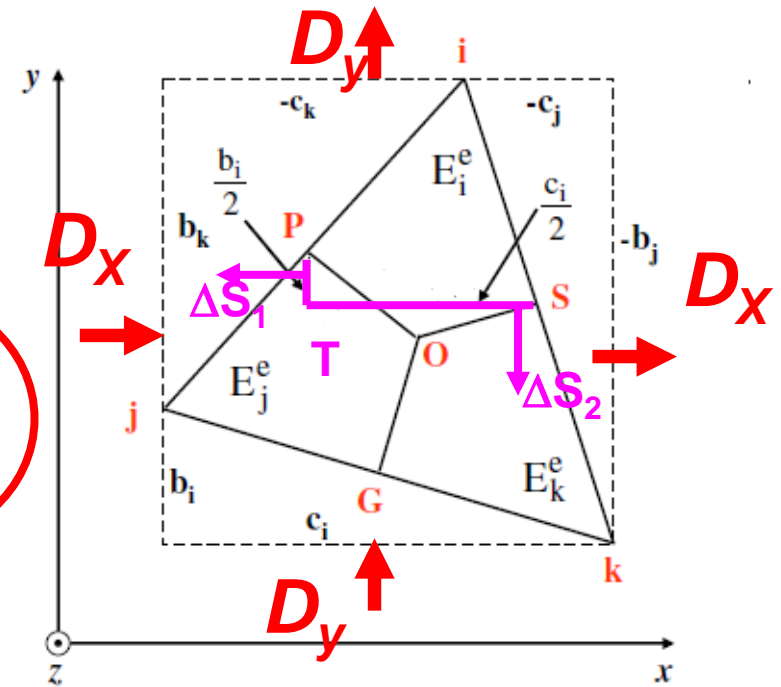
Determinação de E_i^e – Elemento genérico

$$E_i^e = \int_{POS} \vec{D} \cdot d\vec{S} = \int_P^T \vec{D} \cdot d\vec{S}_1 + \int_T^S \vec{D} \cdot d\vec{S}_2$$

$$E_i^e = -D_x \cdot \Delta S_1 - D_y \cdot \Delta S_2$$

$$\Delta S_1 = (y_P - y_T) \times 1 = \frac{(y_j - y_k)}{2} \vec{u}_x = -\frac{b_i}{2} \vec{u}_x$$

$$\Delta \vec{S}_2 = (x_S - x_T) \times 1 = \frac{(x_k - x_j)}{2} \vec{u}_y = -\frac{c_i}{2} \vec{u}_y$$



Adotando
 $L = 1\text{m}$

Matriz de rigidez do Elemento Triangular

$$E_i^e = \overbrace{\left[\varepsilon \sum_{i=1}^3 \frac{(-b_i \vec{u}_x - c_i \vec{u}_y)}{2\Delta} V_i \right]}^{\vec{D}} \times \left(-\frac{b_i}{2} \vec{u}_x - \frac{c_i}{2} \vec{u}_y \right)$$

$$E_i^e = \frac{\varepsilon}{4\Delta} \times \left[(b_i b_i + c_i c_i) + (b_i b_j + c_i c_j) + (b_i b_k + c_i c_k) \right]$$

Repetindo para os nós j e k , chega-se à matriz do element e :

$$\begin{bmatrix} E_i^e \\ E_j^e \\ E_k^e \end{bmatrix} = \frac{\varepsilon}{4\Delta} \begin{bmatrix} b_i b_i + c_i c_i & b_i b_j + c_i c_j & b_i b_k + c_i c_k \\ & b_j b_j + c_j c_j & b_j b_k + c_j c_k \\ & & b_k b_k + c_k c_k \end{bmatrix} \begin{bmatrix} V_i \\ V_j \\ V_k \end{bmatrix}$$

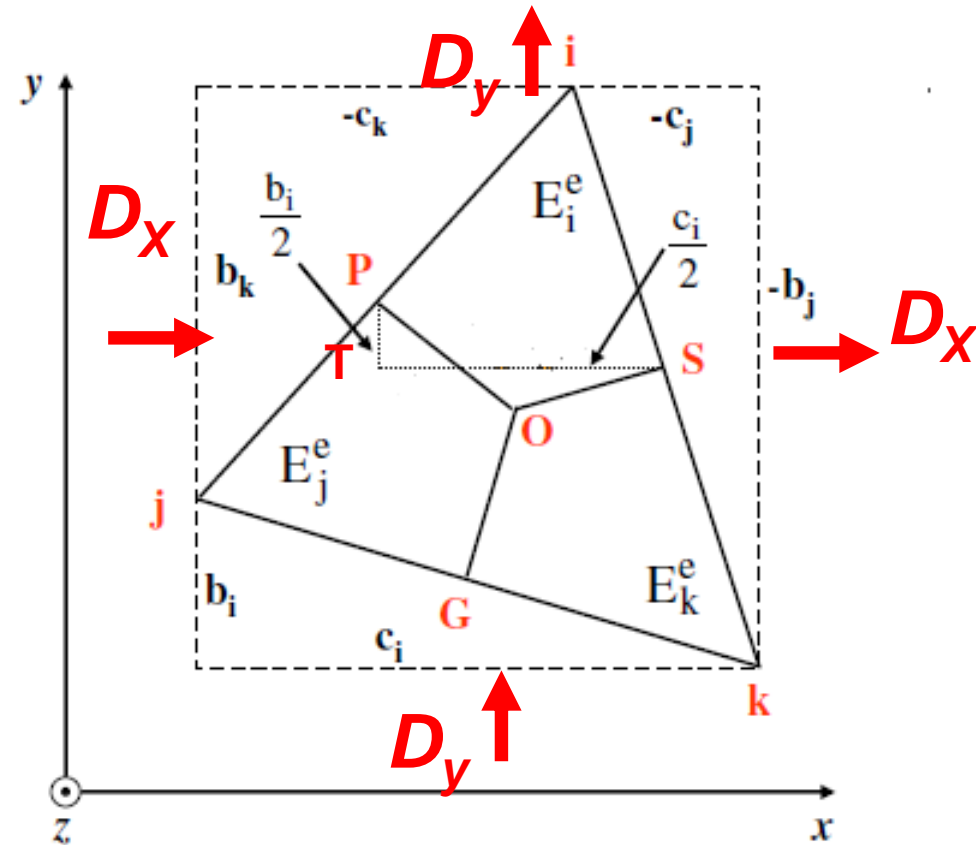
Carga nos nós

$$\sum E_i^e = \iiint_{\tau} \rho_V d\tau$$

- Para elementos suficientemente pequenos, distribui-se igualmente a carga total de cada elemento entre seus nós:

$$Q_i^e = Q_j^e = Q_k^e = \frac{\rho \Delta \cdot L}{3}$$

(Comprimento do triângulo: $L = 1$)



Sistema de Equações

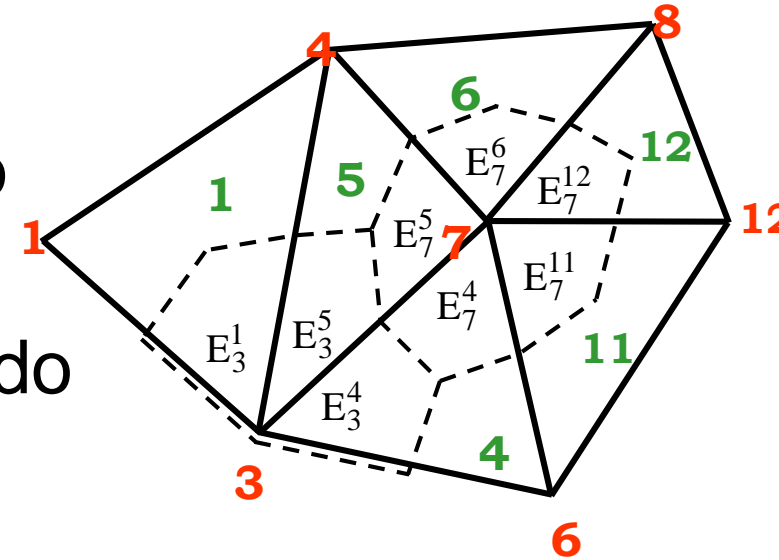
- Repete-se o cálculo de E_i^e para todos os nós do domínio
- Efetua-se então a “assemblagem” (montagem) do sistema global:

$$\sum_{e=1}^{NE} E_i^e = \sum_{e=1}^{NE} Q_i^e$$

- Chega-se então a um sistema de **NN** (nº nós) equações algébricas, que deve ser resolvido para V:

$$\blacksquare [K] [V] = [Q]$$

- ***Cada linha do sistema corresponde à Lei de Gauss aplicada a um determinado nó.***



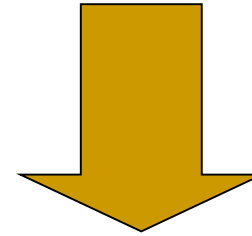
Magnetostática

$$\oint_C \vec{H} \cdot d\vec{l} = \iint_S \vec{J} \cdot d\vec{S}$$

$$\oint_{\Sigma} \vec{B} \cdot d\vec{S} = 0$$

$$\vec{B} = \mu \vec{H}$$

$$\nabla \cdot \vec{B} = 0$$



$$\vec{B} = \nabla \times \vec{A}$$

$\vec{A} \rightarrow$ potencial vetor magnético

Magnetostática em 2D

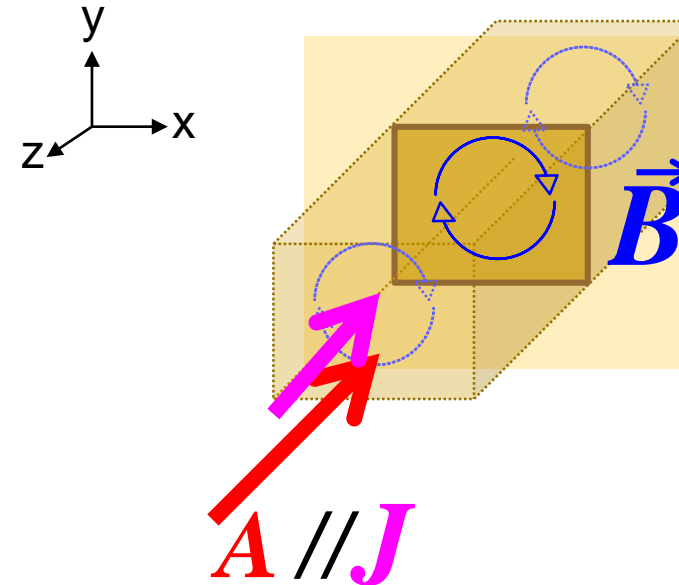
$$\nabla \times \vec{H} = \nabla \times (\nu \vec{B}) = \vec{J}$$

$$\text{Para } \vec{J} = J_z \hat{u}_z$$

$$\vec{B} = B_x \vec{u}_x + B_y \vec{u}_y$$

$$\vec{B} = \nabla \times \vec{A} \quad \rightarrow$$

$$\vec{A} = A_z \vec{u}_z$$

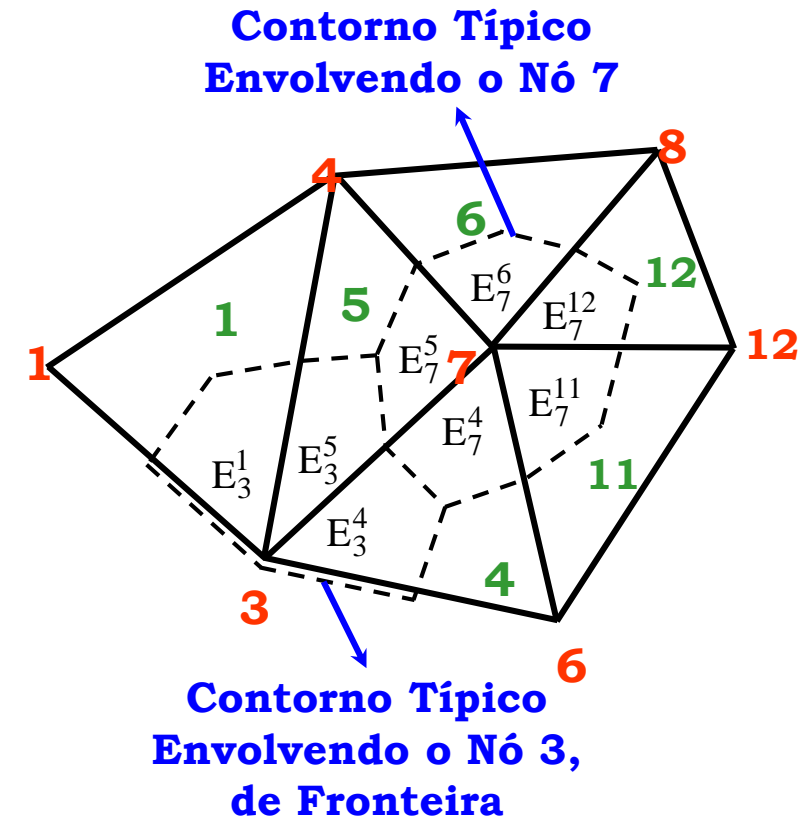
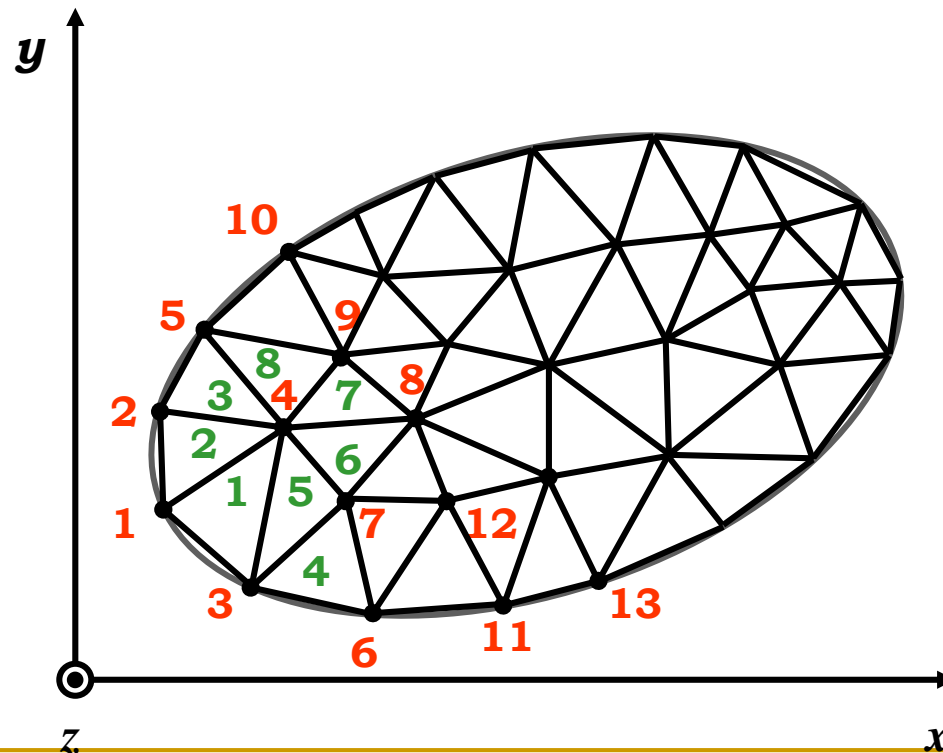


Em 2D, o POTENCIAL VETOR reduz-se a um escalar!

Regiões de Controle - Magnetostática

• **Numeração dos Nós**

• **Numeração dos Elementos**



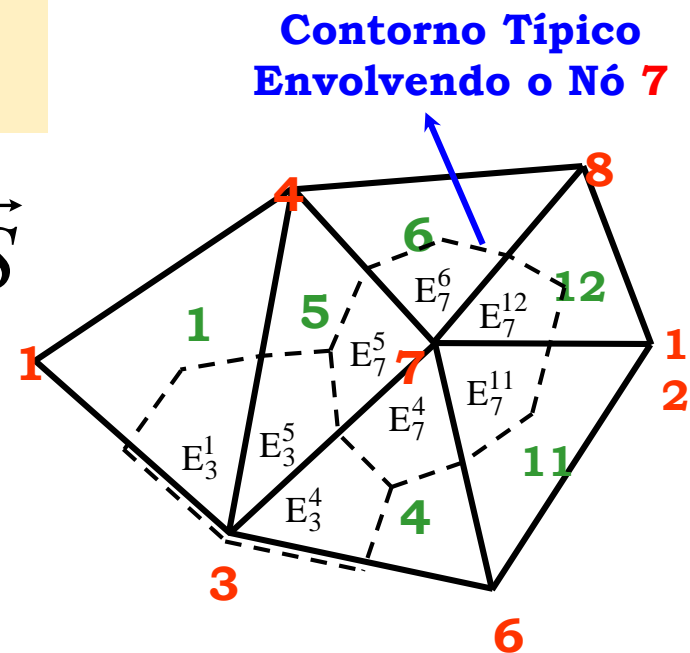
Regiões de Controle - Magnetostática

Aplicação da *Lei de Ampère* a cada NÓ da malha de Elementos finitos

$$E_M^N$$

Contribuição do triângulo
N à ***circulação*** de H em
torno do nó **M**

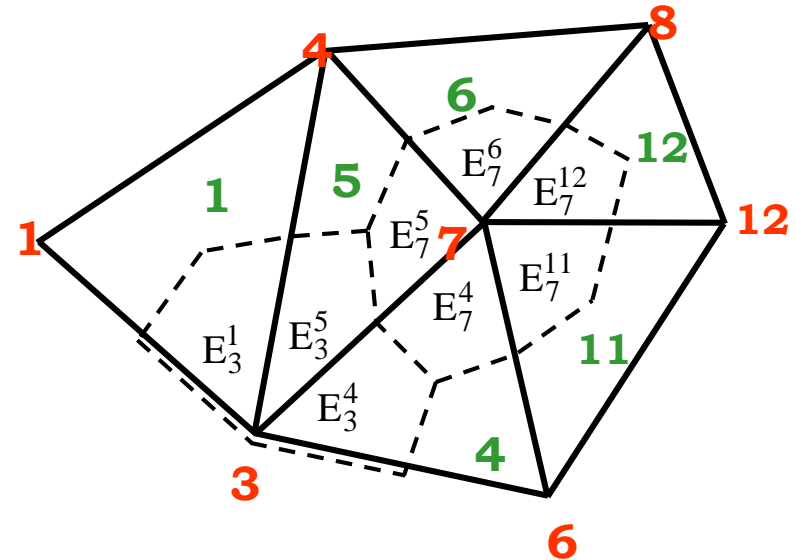
$$E_7^5 + E_7^6 + E_7^{12} + E_7^{11} + E_7^4 = \oint_{\Sigma_7} \vec{J} \cdot d\vec{S}$$



Assemblagem dos contornos de todos os nós

Aplica-se a Lei de Ampère para todos os nós

$$\sum_{e=1}^{NE} E_i^e = \sum_{e=1}^{NE} I_i^e$$



Aproximação Linear do Potencial Vetor Magnético (Wb/m)

$$A(x, y) = \sum_{i=1}^3 N_i(x, y) \times A_i$$

Campo Magnético no elemento

$$\vec{H} = \nu \vec{B} = \nu \nabla \times \vec{A} \quad \Rightarrow \quad \nu = 1/\mu$$

$$\vec{H} = \nu \sum_{i=1}^3 \frac{(c_i \vec{u}_x - b_i \vec{u}_y)}{2\Delta} A_i$$

Assim como na Eletrostática, na Magnetostática a aproximação linear para A conduz a um campo magnético constante no elemento.

Determinação de E_i^e – Elemento genérico

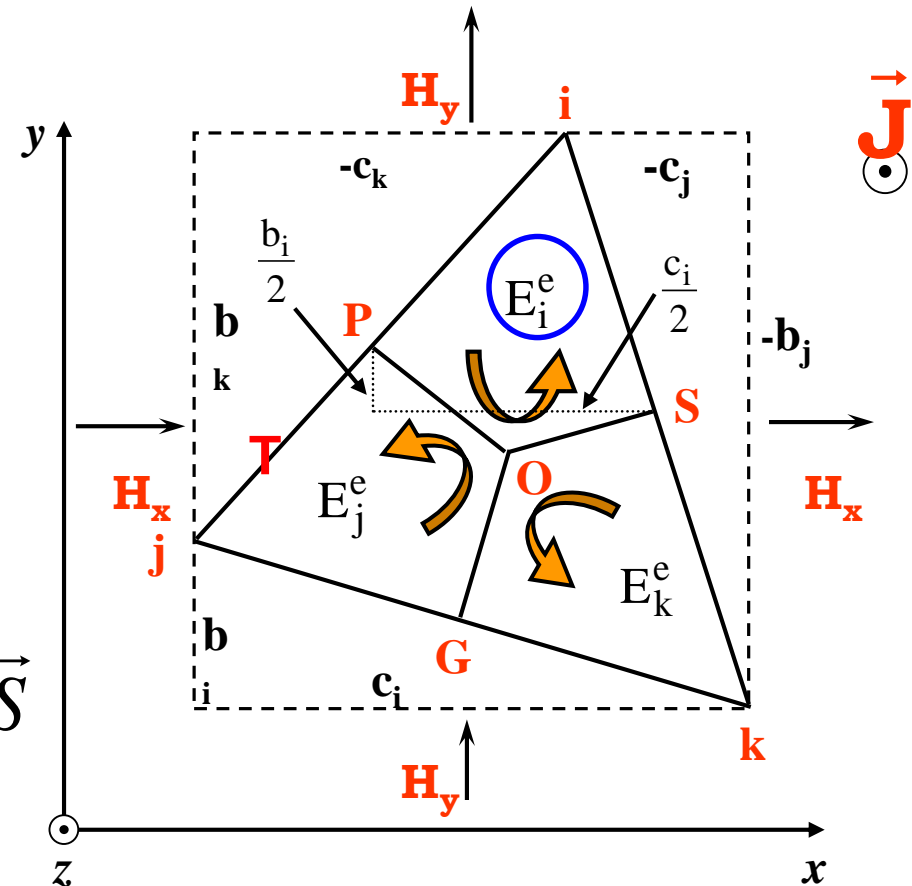
$$\int_{POS} \vec{H} \cdot d\vec{l} = \iint_{iPOS} \vec{J} \cdot d\vec{S}$$

\vec{H} é constante no elemento

$$\int_{PT} \vec{H} \cdot d\vec{l} + \int_{TS} \vec{H} \cdot d\vec{l} = \iint_{iPOS} \vec{J} \cdot d\vec{S}$$

$$H_y \Delta y + H_x \Delta x = \iint_{iPOS} \vec{J} \cdot d\vec{S}$$

$$H_y (y_T - y_P) + H_x (x_S - x_T) = \iint_{iPOS} \vec{J} \cdot d\vec{S}$$



Matriz de rigidez do elemento

$$\begin{bmatrix} E_i^e \\ E_j^e \\ E_k^e \end{bmatrix} = \frac{\nu}{4\Delta} \begin{bmatrix} b_i b_i + c_i c_i & b_i b_j + c_i c_j & b_i b_k + c_i c_k \\ b_j b_j + c_j c_j & b_j b_k + c_j c_k & \\ b_k b_k + c_k c_k & & \end{bmatrix} \begin{bmatrix} A_i \\ A_j \\ A_k \end{bmatrix}$$

Corrente Elétrica no elemento

- Para elementos suficientemente pequenos, distribui-se igualmente a corrente total de cada elemento entre seus nós:

$$I_i^e = I_j^e = I_k^e = \frac{J\Delta}{3}$$

Sistema de Equações

- Repete-se o cálculo de E_i^e para todos os nós do domínio
- Efetua-se então a “assemblagem” (montagem) do sistema global:

$$\sum_{e=1}^{NE} E_i^e = \sum_{e=1}^{NE} I_i^e$$

- Chega-se então a um sistema de equações algébricas, que deve ser resolvido para A :

- $[K] [A] = [I]$

- ***Cada linha do sistema corresponde à Lei de Ampère aplicada a um determinado nó.***